

# Содержание

<b>1</b>		<b>2</b>
1.1	Закон Кулона, напряжённость . . . . .	2
1.2	Поток, теорема Гаусса . . . . .	3
1.3	Циркуляция и дивергенция $E$ . . . . .	3
1.4	Энергия электрического поля . . . . .	3
<b>2</b>		<b>3</b>
2.1	Потенциал . . . . .	3
2.2	Уравнения Пуассона и Лапласа . . . . .	4
2.3	Проводимость, обобщённый закон Ома . . . . .	4
<b>3</b>		<b>4</b>
3.1	Био-Савар, виток с током . . . . .	4
3.2	Циркуляция магнитного поля . . . . .	5
3.3	Ротор и дивергенция $B$ . . . . .	5
<b>4</b>		<b>6</b>
4.1	Электрический диполь . . . . .	6
4.1.1	Потенциал поля диполя . . . . .	6
4.1.2	Напряжённость поля диполя . . . . .	6
4.1.3	Сила действующая на диполь . . . . .	7
4.1.4	Момент сил действующих на диполь . . . . .	7
4.1.5	Энергия диполя в поле . . . . .	7
4.2	Магнитный диполь . . . . .	7
4.2.1	Сила действующая на контур . . . . .	7
4.2.2	Момент сил . . . . .	7
<b>5</b>		<b>8</b>
5.1	Свободные электрические колебания . . . . .	8
5.1.1	Свободные незатухающие колебания . . . . .	8
5.1.2	Свободные затухающие колебания . . . . .	8
5.2	Величины характеризующие затухание . . . . .	9
5.2.1	коэффициент затухания и время релаксации . . . . .	9
5.2.2	Логарифмический декремент затухания . . . . .	9
5.2.3	Добротность . . . . .	9
5.3	Вынужденные электрические колебания . . . . .	9
5.3.1	Векторная диаграмма . . . . .	10
5.3.2	Резонанс . . . . .	10
<b>6</b>		<b>10</b>
6.1	Условия квазистационарности . . . . .	10
6.2	Комплексные сопротивления . . . . .	11
6.2.1	Резистор . . . . .	11
6.2.2	Конденсатор . . . . .	11
6.2.3	Катушка индуктивности . . . . .	11

<b>7</b>		<b>11</b>
7.1	Правило Ленца . . . . .	11
7.2	Закон Фарадея . . . . .	11
7.3	Самоиндукция . . . . .	12
7.3.1	Индуктивность катушки . . . . .	12
7.4	Взаимная индукция . . . . .	12
7.5	Энергия магнитного поля . . . . .	12
<b>8</b>		<b>13</b>
8.1	Электрическое поле в веществе . . . . .	13
8.1.1	Поляризованность Р . . . . .	13
8.1.2	Вектор D . . . . .	13
8.1.3	Условия на границе . . . . .	14
8.1.4	Поле в однородном диэлектрике . . . . .	14
8.2	Магнитное поле в веществе . . . . .	14
8.2.1	Намагниченность J . . . . .	15
8.2.2	Вектор H . . . . .	15
8.2.3	Связь J и H . . . . .	15
8.2.4	Связь B и H . . . . .	15
8.2.5	Граничные условия B и H . . . . .	16
8.2.6	Ферромагнетики . . . . .	16
8.2.7	Гистерезис . . . . .	17
<b>9</b>		<b>17</b>
9.1	Разложение Фурье . . . . .	17
9.1.1	Основные разложения . . . . .	18
9.1.2	Амплитудно-модулированный сигнал . . . . .	18
9.1.3	Частотно-модулированный сигнал . . . . .	18
9.1.4	Фильтры RC, CR, RL, LR . . . . .	19
9.2	Фильтр RLC . . . . .	19

## 1

### 1.1 Закон Кулона, напряжённость

$$F = \frac{|q_1||q_2|}{r_{12}^2} \quad \vec{E} = k \frac{q}{r^3} \vec{r}$$

где  $k = \frac{1}{4\pi\epsilon_0} = 9 \cdot 10^9 \text{ Ф/м}$  и  $\epsilon_0 = 8,85 \cdot 10^{-12} \text{ Ф/м}$ .

Напряжённость  $\vec{E}$  - сила действующая на единичный положительный неподвижный заряд.

## 1.2 Поток, теорема Гаусса

$$\Phi = \int_S \vec{E} d\vec{S} \quad \oint \vec{E} d\vec{S} = \frac{1}{\varepsilon_0} q_{\text{внутр}}$$

- Плоскость:  $E = \frac{\sigma}{2\varepsilon_0\varepsilon}$
- Стена ширины d:  $E = \begin{cases} \frac{\rho x}{\varepsilon_0} & , x < \frac{d}{2} \\ \frac{\rho d}{2\varepsilon_0} & , x \geq \frac{d}{2} \end{cases}$
- Цилиндр:  $E = \begin{cases} \frac{\rho r}{2\varepsilon_0} & , r < R \\ \frac{\sigma R}{\varepsilon_0 r} & , r > R \end{cases}$
- Шар:  $E = \begin{cases} \frac{Qr}{4\pi\varepsilon_0 R^3} & , r < R \\ \frac{Q}{4\pi\varepsilon_0 r^2} & , r > R \end{cases}$

## 1.3 Циркуляция и дивергенция E

$$\nabla \cdot \vec{E} = \frac{\rho}{\varepsilon_0} \quad \oint \vec{E} d\vec{l} = 0$$

## 1.4 Энергия электрического поля

$$W = \frac{CU^2}{2} = \frac{\varepsilon\varepsilon_0 SU^2}{2h} = \frac{\varepsilon\varepsilon_0}{2} \left(\frac{U}{h}\right)^2 Sh = \frac{ED}{2} V$$
$$w = \frac{\varepsilon\varepsilon_0 E^2}{2} = \frac{\vec{E}\vec{D}}{2} \quad W = \int w dV$$

## 2

### 2.1 Потенциал

$$\varphi_1 - \varphi_2 = \int_1^2 \vec{E} d\vec{l}$$

Потенциал - величина, численно равная потенциальной энергии единичного положительного заряда в данной точке.

$$-d\varphi = \vec{E} d\vec{l} \quad \vec{E} = -\nabla\varphi$$

$$\varphi = \frac{1}{4\pi\varepsilon_0} \int \frac{\rho dV}{r}$$

## 2.2 Уравнения Пуассона и Лапласа

$$\Delta = \nabla^2 = \frac{\partial^2}{\partial^2 x} + \frac{\partial^2}{\partial^2 y} + \frac{\partial^2}{\partial^2 z}$$
$$\Delta \varphi = -\frac{\rho}{\varepsilon_0}$$

В Лапласе правая часть равна 0.

Определение потенциала сводится к нахождению функции  $\varphi$ , удовлетворяющей этим уравнениям во всём пространстве (Лаплас между проводниками, и заданные значения на поверхности самих проводников).

## 2.3 Проводимость, обобщённый закон Ома

$$I = \frac{U}{R} \quad R = \rho \frac{l}{S}$$
$$\vec{j} = \frac{1}{\rho} \vec{E} = \lambda \vec{E}$$

$\lambda$  - удельная электропроводность, сименс на метр (См/м).

При наличии сторонних (некулоновских) сил ( $\vec{E}^*$ ), обобщённый закон Ома:

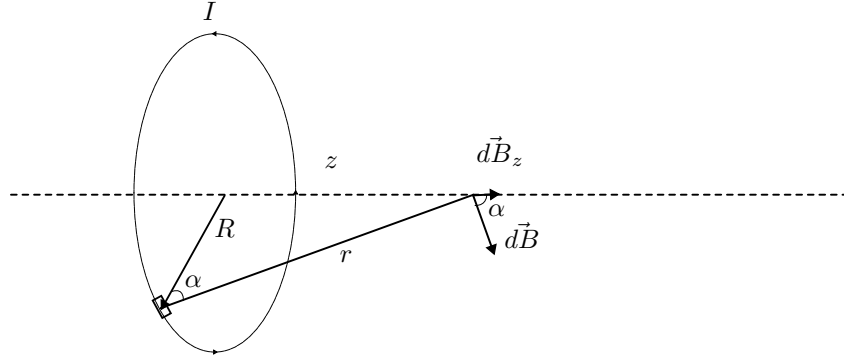
$$\vec{j} = \lambda(\vec{E} + \vec{E}^*)$$
$$I \int_1^2 \rho \frac{dl}{S} = \int_1^2 \frac{\vec{j} d\vec{l}}{\lambda} = \int_1^2 \vec{E} d\vec{l} + \int_1^2 \vec{E}^* d\vec{l}$$
$$RI = \varphi_1 - \varphi_2 + \varepsilon_{12}$$

$\varepsilon_{12}$  - электродвижущая сила

## 3

### 3.1 Био-Савар, виток с током

$$d\vec{B} = \frac{\mu_0}{4\pi} \frac{I[d\vec{l} \times \vec{r}]}{r^3}$$



$$dB_z = dB \cos \alpha = \frac{\mu_0}{4\pi} \frac{I dl \cos \alpha}{r^2} \quad \cos \alpha = \frac{R}{r} \quad r^2 = z^2 + R^2$$

$$B = \frac{\mu_0}{4\pi} \frac{2\pi R^2 I}{(z^2 + R^2)^{3/2}}$$

### 3.2 Циркуляция магнитного поля

$$\oint \vec{B} d\vec{l} = \mu_0 I = \mu_0 \int \vec{j} d\vec{S}$$

Циркуляция вектора  $\vec{B}$  по произвольному контуру  $\Gamma$  равна произведению  $\mu_0$  на алгебраическую сумму токов, охватываемых контуром  $\Gamma$ .

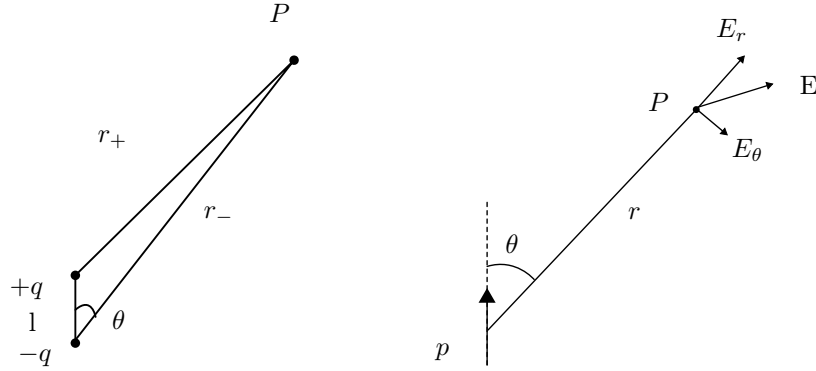
- Прямой провод:  $B = \frac{\mu_0 I}{2\pi r}$ ,  $r \geq R$
- Внутри длинного соленоида:  $B = \mu_0 \mu n I$ , где  $n$  - кол-во витков на метр
- Плоскость с током:  $B = \frac{\mu_0 I}{2}$ , где  $l$  сторона контура, параллельная плоскости

### 3.3 Ротор и дивергенция $\vec{B}$

$$\nabla \times \vec{B} = \mu_0 \vec{j} \quad \nabla \cdot \vec{B} = 0$$

## 4

### 4.1 Электрический диполь



Момент диполя:

$$\vec{p} = q\vec{l}$$

где  $\vec{l}$  направлен от - к +, q - положительный заряд

#### 4.1.1 Потенциал поля диполя

$$\varphi = \frac{1}{4\pi\epsilon_0} \left( \frac{q}{r_+} - \frac{q}{r_-} \right) = \frac{1}{4\pi\epsilon_0} \frac{p \cos \theta}{r^2}$$

где  $\theta$  - угол между  $p$  и  $r$

#### 4.1.2 Напряженность поля диполя

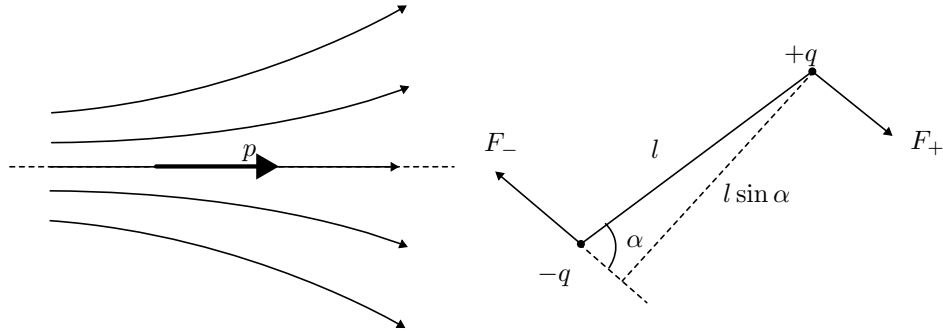
$$E_r = -\frac{\partial \varphi}{\partial r} = \frac{1}{4\pi\epsilon_0} \frac{2p \cos \theta}{r^3} \quad E_\theta = -\frac{\partial \varphi}{r \partial \theta} = \frac{1}{4\pi\epsilon_0} \frac{p \sin \theta}{r^3}$$

$$E = \sqrt{E_r^2 + E_\theta^2} = \frac{1}{4\pi\epsilon_0} \frac{p}{r^3} \sqrt{1 + 3 \cos^2 \theta}$$

В частности при  $\theta = 0$  и  $\theta = \frac{\pi}{2}$

$$E_{\parallel} = \frac{1}{4\pi\epsilon_0} \frac{2p}{r^3} \quad E_{\perp} = \frac{1}{4\pi\epsilon_0} \frac{p}{r^3}$$

#### 4.1.3 Сила действующая на диполь



$$\vec{F} = q(\vec{E}_+ - \vec{E}_-) = p \frac{\partial \vec{E}}{\partial l}$$

#### 4.1.4 Момент сил действующих на диполь

$$M = qEl \sin \alpha = pE \sin \alpha$$

$$\vec{M} = [\vec{p} \times \vec{E}]$$

#### 4.1.5 Энергия диполя в поле

$$W = q(\varphi_+ - \varphi_-) = q \frac{\partial \varphi}{\partial l} l = -qEl \cos \alpha = -\vec{p} \cdot \vec{E}$$

### 4.2 Магнитный диполь

$\vec{p}_m = IS\vec{n}$ , где  $S$  - площадь контура,  $\vec{n}$  - нормаль по правилу правого винта.

#### 4.2.1 Сила действующая на контур

$$d\vec{F}_A = I[d\vec{l} \times \vec{B}] \quad \vec{F}_A = I[\vec{l} \times \vec{B}]$$

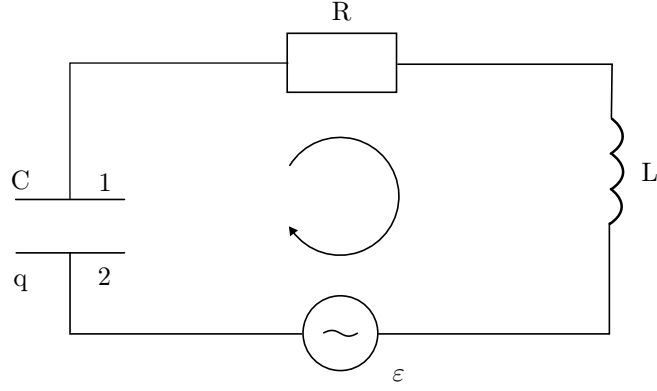
$$\vec{F} = I \oint [d\vec{l} \times \vec{B}] \quad \vec{F} = p_m \frac{\partial \vec{B}}{\partial \vec{n}}$$

где  $p_m$  - модуль момента,  $\frac{\partial \vec{B}}{\partial \vec{n}}$  - производная по направлению нормали  $\vec{n}$ .

#### 4.2.2 Момент сил

$$\vec{M} = \oint [\vec{r} \times d\vec{F}] \quad \vec{M} = [\vec{p}_m \times \vec{B}]$$

## 5



$$RI = \varphi_1 - \varphi_2 + \varepsilon_s + \varepsilon \quad \varepsilon_s = -L \frac{dI}{dt} \quad \varphi_2 - \varphi_1 = \frac{q}{C}$$

$$L \frac{d^2 q}{dt^2} + R \frac{dq}{dt} + \frac{1}{C} q = \varepsilon \quad \ddot{q} + 2\beta \dot{q} + \omega_0^2 q = \frac{\varepsilon}{L}$$

$$2\beta = \frac{R}{L}, \quad \omega_0^2 = \frac{1}{LC}$$

### 5.1 Свободные электрические колебания

#### 5.1.1 Свободные незатухающие колебания

$$\ddot{q} + \omega_0^2 q = 0 \quad q = q_m \cos(\omega_0 t)$$

Период (формула Томпсона)

$$T_0 = 2\pi\sqrt{LC}$$

#### 5.1.2 Свободные затухающие колебания

$$\ddot{q} + 2\beta \dot{q} + \omega_0^2 q = 0 \quad q = q_m e^{-\beta t} \cos(\omega t)$$

$$\omega = \sqrt{\omega_0^2 - \beta^2} \quad T = \frac{2\pi}{\omega}$$

Напряжение на конденсаторе и ток в контуре

$$U_C = \frac{q}{C} = \frac{q_m}{C} e^{-\beta t} \cos(\omega t)$$

$$I = \omega q_m e^{-\beta t} \cos(\omega t + \delta)$$

$$\cos \delta = -\frac{\beta}{\omega_0} \quad \sin \delta = \frac{\omega}{\omega_0}$$



## 5.2 Величины характеризующие затухание

### 5.2.1 коэффициент затухания и время релаксации

время релаксации  $\tau$  - время за которое амплитуда колебаний уменьшается в  $e$  раз

$$\tau = \frac{1}{\beta}$$

### 5.2.2 Логарифмический декремент затухания

Определяется как натуральный логарифм отношения двух значений амплитуд взятых через период колебания  $T$

$$\lambda = \ln \frac{\alpha(t)}{\alpha(t+T)} = \beta T$$

если затухание мало

$$\lambda \approx \beta \frac{2\pi}{\omega_0} = \pi R \sqrt{\frac{C}{L}}$$

### 5.2.3 Добротность

- По определению:  $Q = \frac{\pi}{\lambda}$
- При слабом затухании:  $Q \approx \frac{1}{R} \sqrt{\frac{L}{C}}$
- Энергетический смысл:  $Q \approx 2\pi \frac{W}{\delta W}$ ,  $\delta W$  - уменьшение энергии за период

## 5.3 Вынужденные электрические колебания

$$L \frac{dI}{dt} + RI + \frac{q}{C} = \varepsilon_m \cos(\omega t)$$

или

$$\ddot{q} + 2\beta\dot{q} + \omega_0^2 q = \frac{\varepsilon_m}{L} \cos(\omega t) \quad q = q_m \cos(\omega t - \psi)$$

где  $q_m$  - амплитуда заряда на конденсаторе,  $\psi$  - разность фаз между колебаниями заряда и внешней э.д.с  $\varepsilon$

$$I = I_m \cos(\omega t - \varphi)$$

где  $I_m$  амплитуда тока  $\varphi$  сдвиг по фазе между током и внешней э.д.с  $\varepsilon$

$$I_m = \omega q_m, \quad \varphi = \psi - \frac{\pi}{2}$$

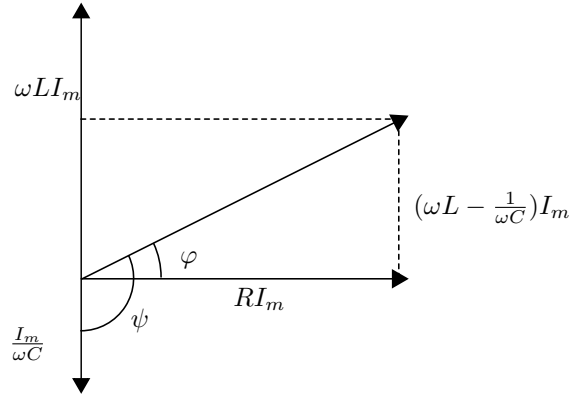
напряжения на индуктивности сопротивлении и емкости

$$U_R = RI_m \cos(\omega t - \varphi)$$

$$U_C = \frac{I_m}{\omega C} \cos(\omega t - \varphi - \frac{\pi}{2})$$

$$U_L = I_m \omega L \cos(\omega t - \varphi + \frac{\pi}{2})$$

### 5.3.1 Векторная диаграмма



$$I_m = \frac{\varepsilon_m}{\sqrt{R^2 + (\omega L - \frac{1}{\omega C})^2}} \quad \tan \varphi = \frac{\omega L - \frac{1}{\omega C}}{R}$$

учитывая что  $q_m = I_m / \omega$

$$q_m = \frac{\varepsilon / L}{\sqrt{(\omega_0^2 - \omega^2) + 4\beta^2 \omega^2}}$$

### 5.3.2 Резонанс

$$\omega_{I\text{рез}} = \omega_0 = \frac{1}{\sqrt{LC}} \quad \omega_{q\text{рез}} = \sqrt{\omega_0^2 - 2\beta^2}$$

если  $\beta \ll \omega_0$

$$\frac{U_{C\text{рез}}}{\varepsilon_m} = Q \quad Q = \frac{\omega_0}{\delta\omega}$$

где  $\omega_0$  - резонансная частота,  $\delta\omega$  - ширина резонансной кривой на высоте  $1/\sqrt{2}$  от максимальной

## 6

### 6.1 Условия квазистационарности

Квазистационарность - мгновенные значения тока практически одинаковы на всех участках цепи.

$$\tau = \frac{\varepsilon_0}{\lambda} \ll T$$

где  $\lambda$  - проводимость,  $\tau$  - характерное время растекания, а  $T$  - характерное время изменений

$$l_{\text{хар}} \ll \lambda_{\text{волны}} = \frac{c}{\nu}$$

См. векторная диаграмма

## 6.2 Комплексные сопротивления

### 6.2.1 Резистор

$$Z_R = R$$

### 6.2.2 Конденсатор

$$I = C \frac{dU}{dt}$$
$$U = U_0 e^{i(\omega t + \varphi_U)} \quad I = i\omega C U_0 e^{i(\omega t + \varphi_U)}$$
$$Z_C = \frac{U}{I} = \frac{1}{i\omega C} = -\frac{i}{\omega C}$$

### 6.2.3 Катушка индуктивности

$$U = -\varepsilon_s = L \frac{dI}{dt}$$
$$I = I_0 e^{i(\omega t + \varphi_I)} \quad U = Li\omega I_0 e^{i(\omega t + \varphi_I)}$$
$$Z_L = \frac{U}{I} = i\omega L$$

## 7

### 7.1 Правило Ленца

Индукционный ток направлен так, чтобы противодействовать причине, его вызывающей.

### 7.2 Закон Фарадея

$$\varepsilon = \oint \vec{E} d\vec{l} = -\frac{d\Phi}{dt} \quad \nabla \times \vec{E} = -\frac{\partial \vec{B}}{\partial t}$$

При нескольких витках  $\varepsilon = -N \frac{d\Phi}{dt}$

В полном виде:

$$\oint \vec{E} d\vec{l} = -\frac{\partial \Phi}{\partial t} + \oint [\vec{v} \times \vec{B}] d\vec{l}$$

Первое слагаемое связано с изменением магнитного поля во времени, второе - с движением контура (на электроны действует сила Лоренца  $\vec{F} = -e[\vec{v} \times \vec{B}]$ , которой соответствует  $E^* = [\vec{v} \times \vec{B}]$ , циркуляция даёт эдс).

### 7.3 Самоиндукция

$$\Phi = LI$$

$L$  - индуктивность

$$\varepsilon_s = -\frac{\partial \Phi}{\partial t} = -\frac{d}{dt}(LI) = -L\frac{dI}{dt}$$

#### 7.3.1 Индуктивность катушки

Поле внутри (бесконечной) катушки ( $n$  - витки/метр):

$$dB = \mu_0 n dI \frac{R^2}{(R^2 + h^2)^{3/2}} \quad B = \int_{-\inf}^{\inf} dB = \mu_0 n I$$

$$L = \Phi/I \quad \Phi_1 = BS \quad \Phi = n l B S = \mu_0 n^2 V I$$

$$L = \mu_0 n^2 V$$

### 7.4 Взаимная индукция

Два неподвижных контура достаточно близких к друг другу:

$$\Phi_2 = L_{21} \cdot I_1 \quad \Phi_1 = L_{12} \cdot I_2$$

Где  $L_{12} = L_{21} = M$  - взаимная индуктивность, при отсутствии поблизости ферромагнетиков. (Может быть и отрицательна, в отличие от  $L$ .)

### 7.5 Энергия магнитного поля

Работа совершаемая сторонними силами против эдс самоиндукции:

$$\varepsilon_0 = RI - \varepsilon_s \mid \cdot Idt \Rightarrow \delta A_{\text{стор}} = \delta Q + Id\Phi$$

$$\delta A^{\text{доп}} = Id\Phi$$

Считаем что ферромагнетиков нет:

$$d\Phi = LdI \Rightarrow A^{\text{доп}} = \frac{LI^2}{2}$$

$$W = \frac{LI^2}{2} = \frac{I\Phi}{2} = \frac{\Phi^2}{2L}$$

$$L = \mu_0 n^2 V \quad nI = H = B/\mu_0$$

$$W = \int \frac{\vec{B}\vec{H}}{2} dV \quad w = \frac{\vec{B}\vec{H}}{2} = \frac{B^2}{2\mu_0}$$

$$L = \frac{1}{I^2} \int \frac{B^2}{\mu_0} dV$$

## 8

### 8.1 Электрическое поле в веществе

Связанные заряды и их поле помечаются штрихом  $(q', \rho', \sigma', \vec{E}')$ , сторонне поле обозначено как  $\vec{E}_0$ .

Под действием внешнего поля положительные и отрицательные заряды смещаются в пределах нейтральных молекул, в следствие чего возникают нескомпенсированные поверхностные заряды и соответствующий им дипольный момент.

#### 8.1.1 Поляризованность $\vec{P}$

- дипольный момент объёма вещества.

$$\vec{P} = \frac{1}{\Delta V} \sum \vec{p}_i \quad \vec{P} = \eta \langle \vec{p} \rangle$$

Для изотропного диэлектрика:

$$\vec{P} = \kappa \varepsilon_0 \vec{E}$$

где  $\kappa = \varepsilon - 1$  - диэлектрическая восприимчивость.

$$\oint \vec{P} d\vec{S} = -q'_{\text{внутр}} \quad \nabla \cdot \vec{P} = -\rho'$$

Граничное условие:

$$P_{2n} - P_{1n} = -\sigma'$$

где индекс n означает проекцию на нормаль

#### 8.1.2 Вектор $\vec{D}$

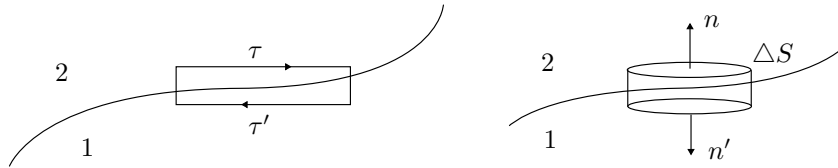
- электрическое смещение (индукция)

$$\vec{D} = \varepsilon_0 \vec{E} + \vec{P} \quad \vec{D} = \varepsilon \varepsilon_0 \vec{E}$$

$$\oint \vec{D} d\vec{S} = q_{\text{внутр}}^{\text{сторонне}}$$

$\varepsilon = 1 + \kappa$  - диэлектрическая проницаемость

### 8.1.3 Условия на границе



Два диэлектрика

$$\oint \vec{E} d\vec{l} = 0 \quad \oint \vec{D} d\vec{S} = q_{\text{внутр}}$$

$$E_{1\tau} = E_{2\tau} \quad D_{2n} - D_{1n} = \sigma = 0$$

$$\frac{\tan \alpha_2}{\tan \alpha_1} = \frac{\varepsilon_2}{\varepsilon_1}$$

Проводник - диэлектрик:

$$D_n = \sigma \quad E_n = (\sigma + \sigma')/\varepsilon_0 = D_n/\varepsilon\varepsilon_0$$

$$\sigma' = -\frac{\varepsilon - 1}{\varepsilon}\sigma$$

### 8.1.4 Поле в однородном диэлектрике

$$\vec{E} = \frac{\vec{E}_0}{\varepsilon} \quad \vec{D} = \vec{D}_0 \quad \vec{E}' = -\vec{P}/\varepsilon_0$$

## 8.2 Магнитное поле в веществе

В веществе, молекулы которого имеют дипольный момент, под действием внешнего поля эти элементарные моменты приобретают преимущественную ориентацию, суммарный магнитный момент становится отличен от нуля, магнитные поля отдельных молекул перестают компенсировать друг друга. В веществе, молекулы которого не имеют дипольного момента, внешнее поле индуцирует элементарные круговые токи в молекулах, в следствие чего образуется магнитный момент.

### 8.2.1 Намагниченность $\vec{J}$

- магнитный момент единицы объёма

$$\vec{J} = \frac{1}{\Delta V} \sum \vec{p}_m \quad \vec{J} = n \langle \vec{p}_m \rangle$$

У соседних молекул молекулярные токи в местах их соприкосновения текут в противоположных направлениях и макроскопически взаимно компенсируют друг друга. Некомпенсированными остаются только те молекулярные токи, которые выходят на боковую поверхность цилиндра. Эти токи образуют макроскопический поверхностный ток намагничивания  $I'$ .

$$\oint \vec{J} d\vec{l} = I' \quad I' = \int \vec{j}' d\vec{S}$$

где  $I'$  - алгебраическая сумма токов намагничивания в контуре, а  $\vec{j}'$  - объёмная плотность тока намагничивания, интегрирование по произвольной поверхности, натянутой на контур.

$$\nabla \times \vec{J} = \vec{j}'$$

### 8.2.2 Вектор $\vec{H}$

$$\oint \vec{B} d\vec{l} = \mu_0 (I + I')$$

$$\vec{H} = \frac{\vec{B}}{\mu_0} - \vec{J} \quad \oint \vec{H} d\vec{l} = I$$

где  $I$  - алгебраическая сумма токов проводимости, охватываемых контуром

$$\nabla \times \vec{H} = \vec{j}$$

где  $\vec{j}$  - плотность тока проводимости

### 8.2.3 Связь $\vec{J}$ и $\vec{H}$

$$\vec{J} = \chi \vec{H}$$

$\chi$  - магнитная восприимчивость

- парамагнетики  $\chi > 0$ ,  $\vec{J} \uparrow \uparrow \vec{H}$
- диамагнетики  $\chi < 0$ ,  $\vec{J} \uparrow \downarrow \vec{H}$
- ферромагнетики,  $J$  зависит от предыстории (гистерезис)

### 8.2.4 Связь $\vec{B}$ и $\vec{H}$

$$\vec{B} = \mu \mu_0 \vec{H} \quad \mu = 1 + \chi$$

### 8.2.5 Граничные условия В и Н

$$\oint \vec{B} d\vec{S} = 0 \quad \oint \vec{H} d\vec{l} = I$$

$$B_{2n}\Delta S + B_{1n}\Delta S = 0 \quad B_{2n} = B_{1n}$$

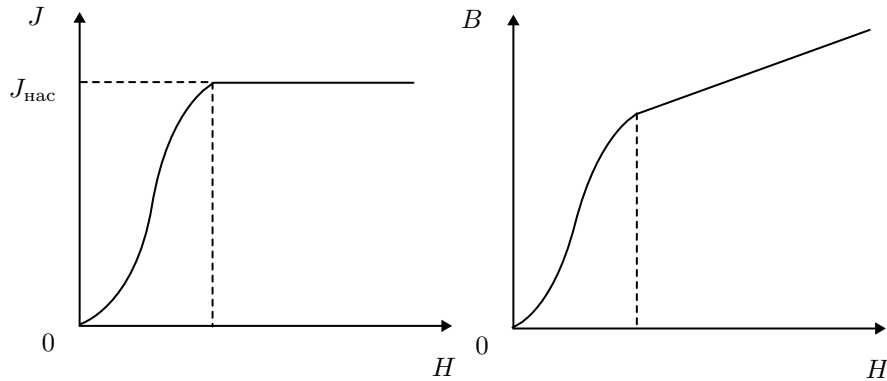
$$H_{2\tau}l + H_{2\tau}l = i_N l \quad H_{2\tau} - H_{1\tau} = i_N$$

$\vec{N}$  - нормаль к контуру,  $i$  - плотность токов проводимости

$$\frac{\tan \alpha_2}{\tan \alpha_1} = \frac{\mu_2}{\mu_1}$$

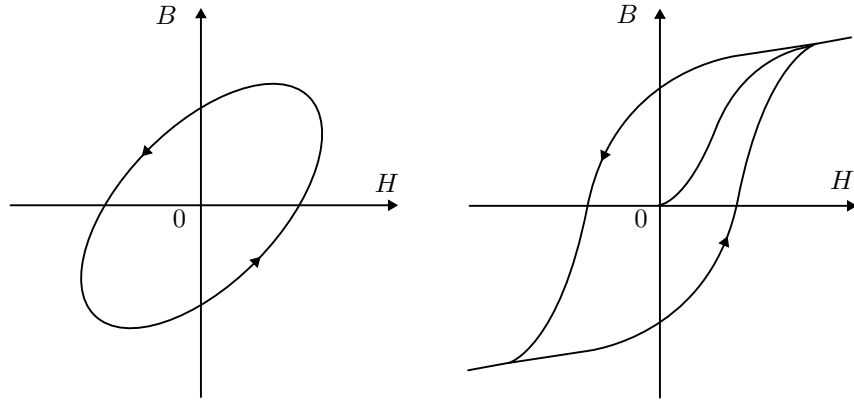
### 8.2.6 Ферромагнетики

- вещества, которые могут обладать намагниченностью при отсутствии внешнего магнитного поля. В их кристаллах могут возникать обменные силы, которые заставляют магнитные моменты электронов устанавливаться параллельно друг другу. В результате возникают области (размером 1-10 мкм) спонтанного намагничивания - домены. В пределах каждого домена ферромагнетик намагничен до насыщения и имеет определенный магнитный момент. Под действием внешнего поля домены ориентированные по нему растут, в слабых полях это обратимый процесс, в сильных - необратимый. Для ферромагнетиков  $\mu$  вводится как функция  $H$ .





### 8.2.7 Гистерезис



Гистерезис - связь между  $B$  и  $H$  определяется предшествующей историей намагничивания ферромагнетика. Линейный гистерезис наблюдается при слабых полях и высоких частотах, нелинейный - при сильных полях и низких частотах. Значение  $B$  при  $H = 0$  называется остаточной намагниченностью, значение  $H_c$  при котором  $B$  обращается в нуль называется коэрцитивной силой. Для размагничивания образец помещают в катушку, по которой пропускают переменный ток и амплитуду его постепенно уменьшают до нуля.

Объёмная плотность потеранной энергии определяется площадью заключённой внутри петли.

$$w = \pi H_0 B_0 \sin \varphi = \pi H_0 B_1$$

## 9

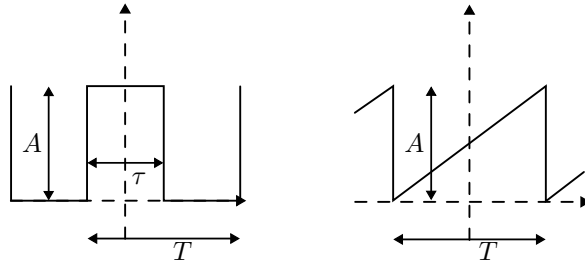
### 9.1 Разложение Фурье

$$f(x) = \frac{a_0}{2} + \sum_{n=1}^{\infty} (a_n \cos(n\omega t) + b_n \sin(n\omega t))$$

$$a_n = \frac{2}{T} \int_{t_1}^{t_1+T} f(t) \cos(n\omega t) dt \quad b_n = \frac{2}{T} \int_{t_1}^{t_1+T} f(t) \sin(n\omega t) dt$$

В чётной функции  $b_n = 0$ , в нечётной  $a_n = 0$ .

### 9.1.1 Основные разложения



(Это лучше перепроверить посчитав ручками)

- Прямоугольник :  $\frac{4A}{\pi} [\sum \frac{\sin(n\pi\tau/T)}{n} \cos(n\omega t)]$
- Пила:  $A[\frac{1}{2} - \frac{1}{\pi} [\sum \frac{1}{n} \sin(n\omega t)]]$
- Двухполупериодное выпрямление (модуль косинуса):  
 $A[\frac{2}{\pi} - \frac{4}{\pi} [\frac{\cos(2\omega t)}{1 \cdot 2} + \frac{\cos(4\omega t)}{3 \cdot 5} + \dots]]$

### 9.1.2 Амплитудно-модулированный сигнал

$$U = U_0[1 + m \cos(\omega t)] \cos(\omega_0 t)$$

где  $U_0$ ,  $\omega_0$  - амплитуда и частота модулируемого (несущего) сигнала,  $\omega$  - частота модулирующего (информационного) сигнала,  $m \leq 1$  - коэффициент модуляции

$$U = U_0[\cos(\omega_0 t) + \frac{m}{2} \cos(\omega_0 - \omega) + \frac{m}{2} \cos(\omega_0 + \omega)]$$

Следовательно на спектре получаем 3 гармоники: несущего колебания и двух боковых полос.

### 9.1.3 Частотно-модулированный сигнал

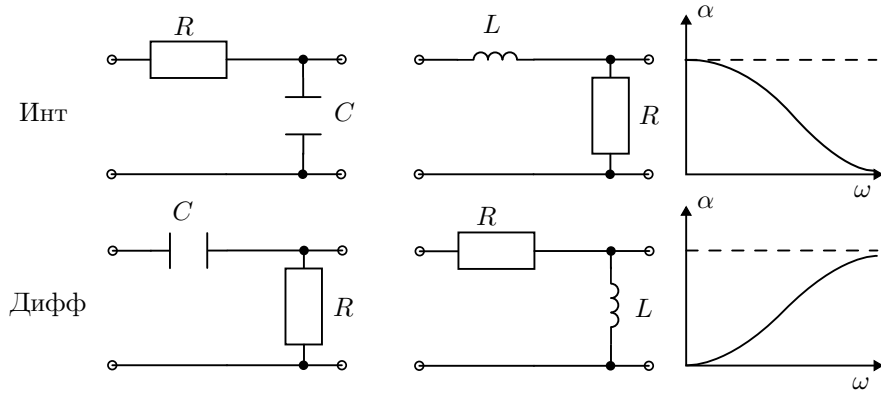
$$U = U_0 \cos(\omega_0 t + m \cos(\omega t))$$

$$U = U_0 \cos(\omega_0 t) \cos(m \cos(\omega t)) - U_0 \sin(\omega_0 t) \sin(m \cos(\omega t))$$

При малом  $m$ , имеем  $\cos(m \cos(\omega t)) \approx 1$ ,  $\sin(m \cos(\omega t)) \approx m \cos(\omega t)$

$$U = U_0 \cos(\omega_0 t) + \frac{mU_0}{2} \cos[(\omega_0 - \omega)t + \frac{\pi}{2}] + \frac{mU_0}{2} \cos[(\omega_0 + \omega)t + \frac{\pi}{2}]$$

### 9.1.4 Фильтры RC, CR, RL, LR



Коэффициент передачи  $\alpha$  (всегда  $\leq 1$ ):

$$\alpha = \left| \frac{U_{\text{ВЫХ}}}{U_{\text{ВХ}}} \right|$$

Интегрирующая цепочка пропускает низкие частоты, дифференцирующая - высокие.

- Инт RC:  $U_{\text{ВХ}} = IR + I \frac{1}{i\omega C}$ ,  $U_{\text{ВЫХ}} = I \frac{1}{i\omega C}$ ,  $\alpha = \frac{1}{\sqrt{1+(R\omega C)^2}}$
- Диф RC:  $U_{\text{ВХ}} = IR + I \frac{1}{i\omega C}$ ,  $U_{\text{ВЫХ}} = IR$ ,  $\alpha = \frac{R\omega C}{\sqrt{1+(R\omega C)^2}}$
- Инт RL:  $U_{\text{ВХ}} = IR + Ii\omega L$ ,  $U_{\text{ВЫХ}} = IR$ ,  $\alpha = \frac{1}{\sqrt{1+(\frac{\omega L}{R})^2}}$
- Диф RL:  $U_{\text{ВХ}} = IR + Ii\omega L$ ,  $U_{\text{ВЫХ}} = Ii\omega L$ ,  $\alpha = \frac{1}{\sqrt{1+(\frac{R}{\omega L})^2}}$

Полоса пропускания - полоса частот, в пределах которой  $\alpha \geq 1/\sqrt{2}$ . (мощность  $\geq 1/2$ )

Для RC и LC цепочек вводится понятие частоты среза соответствующей границе полосы пропускания. RC:  $\nu_{\text{ср}} = \frac{1}{2\pi RC}$ , RL:  $\nu_{\text{ср}} = \frac{R}{2\pi L}$

## 9.2 Фильтр RLC

Резонанс в колебательном контуре может быть использован для усиления или подавления определённой части частотного спектра. (см резонанс)